

# $3x + 1$ 推广函数 $T(x)$ 不动点的 存在区域分析与数值算法

刘 帅, 车翔玖, 王钰旋

(吉林大学计算机科学与技术学院, 吉林长春 130021)

**摘 要:**  $3x + 1$  推广函数  $T(x)$  的不动点性质及存在区域分析是分形中的一个重要研究问题.  $T(x)$  是结构复杂的超越函数, 其在复平面上的不动点难于求解, 不动点性质难于估计, 这成为进一步研究  $T(x)$  动力系统的一个障碍. 首先通过  $T(x)$  的拓扑不变性, 给出了  $T(x)$  在复平面上存在不动点的构造性证明, 分析了不动点的存在区域及其性质. 根据存在区域, 给出了  $T(x)$  的不动点在复平面上的分布. 通过不动点的分布, 提出了一种求  $T(x)$  不动点的数值算法. 找到了  $T(x)$  在复平面上的多个收敛域, 并绘制了收敛域处的分形图形. 数值实验结果表明, 本文算法正确、简捷.

**关键词:** 分形;  $3x + 1$  推广函数; 不动点; 存在区域; 逃逸时间; 数值算法

**中图分类号:** TP301 **文献标识码:** A **文章编号:** 0372-2112 (2011) 10-2282-06

## Existence Domain Analysis and Numerical Algorithm of Fixed Point for Generalized $3x + 1$ Function $T(x)$

LIU Shuai, CHE Xiang-jiu, WANG Zheng-xuan

(College of Computer Science and Technology, Jilin University, Changchun, Jilin 130021, China)

**Abstract:** For generalized  $3x + 1$  function  $T(x)$ , the feature of fixed points and their existence-domain analysis is an important problem in fractal.  $T(x)$  is a complex transcendental function and its fixed point in C-plane is hardly to solve. Meanwhile, the feature of fixed point is difficult to analyze. All these become an obstacle for the further study of  $T(x)$  dynamic system. In this paper, Because of the topological invariance of  $T(x)$ , we constructively proved its fixed point in C-plane firstly. Then we give the analysis for the existence domain of fixed points as well as their feature. Based on the existence domain of  $T(x)$  fixed points, we estimated their distributions in C-plane. So we put forward a numerical algorithm for solving the fixed points of  $T(x)$  by analyzed the basis of distributions. Furthermore, we obtained some convergence domains of  $T(x)$  in C-plane and drew fractal image of these domains. The result of numerical experiment shows that the algorithm in this paper is correct and easy to implement.

**Key words:** fractal; generalized  $3x + 1$  function; fixed point; existence domain; escape time; numerical algorithm

## 1 引言

许多学者对 Collatz 提出的  $3n + 1$  问题进行了研究, 且将其归纳为  $3n + 1$  猜想<sup>[1,2]</sup>. 许多学者对此问题进行了深入的研究, 得出了一些结果<sup>[3]</sup>. 随着 Mandelbrot 构造出具有当今混沌动力学标志的  $f(z) = z^2 + c$  的  $M$  集<sup>[4]</sup>, 标志了分形学科的诞生. 分形随即广泛应用于包括计算机图形学在内的各个计算机领域<sup>[5,6]</sup>. 同样, 应用分形研究  $3n + 1$  猜想也同时出现.

为将  $3n + 1$  问题推广至复平面, Pe 和 Dumont 分别构造了  $3x + 1$  函数和  $3x + 1$  推广函数. 并用分形分别对这两个函数进行了分析, 构造出具有良好视觉效果的分

形图形<sup>[7,8]</sup>. 王兴元<sup>[9]</sup>对  $3x + 1$  推广函数  $T(x)$  和  $C(x)$  进行了比较, 并通过两者分形图形的对比, 给出了  $3x + 1$  推广函数在实轴附近具有分形特征的结论. 文献<sup>[11]</sup>研究了  $T(x)$  在实轴上的不动点分布及其性质, 并分析了  $T(x) = \frac{1}{2} [x3^{\sin^2(\frac{\pi x}{2})} + \sin^2(\frac{\pi x}{2})]$  的特征点, 绘制了分形图形. 进而, 又对  $T(x)$  的近似函数在复平面上的不动点性质进行了研究. 但是,  $T(x)$  在复平面上不动点的性质及分布问题始终没有得到解决.

为研究  $T(x)$  的不动点性质和分布, 需要找到  $T(x)$  的不动点, 这相当于解方程  $T(x) = x$ . 现阶段尚没有很好的求解此类方程的方法. 王则柯<sup>[10]</sup>等对 Kuhn 算法进

行改进,得到了一种求复平面超越函数不动点的方法.但是此方法需要一定初始条件,且无法限定解的区域.如果将  $T(z) = z$  ( $z$  为复数) 转化为方程组求解,其计算又很困难.龙云亮<sup>[11]</sup>等提出了基于围线积分和 Kuhn 算法的方法,但需要在给定区域求  $x^k \cdot (T'(x) - 1) / (T(x) - x)$  的围线积分( $k$  为区域解数目),再利用 Kuhn 方法求解.虽然这种方法能得到数值解,但是求解过程比较费时,且没有充分利用  $T(z)$  本身的性质.

本文构造性地证明了  $T(x)$  在复平面上实轴外存在不动点,并通过构造过程得到了不动点的分布,给出了  $T(x)$  在复平面上  $y = \pm i$  外的不动点及收敛域.基于  $T(x)$  的拓扑不变性,提出了一种求解  $T(x)$  在复平面上不动点的数值算法.实现了在  $T(x)$  不动点附近的分形图形,且验证了其分形性质.实验结果证明,本文算法能够有效地求解  $T(x)$  在复平面上给定区域的不动点.

## 2 $T(x)$ 在实轴上的不动点存在区间

将  $T(x)$  的定义域扩展到复平面,自变量  $x$  改写为  $z$ , 则  $T(z) = \frac{1}{2} [z^{3^{\sin^2(\frac{\pi z}{2})}} + \sin^2(\frac{\pi z}{2})]$ . 令  $z = a + bi$ ,  $T(z) = a_1 + b_1 i$ , 令  $u = \frac{1}{2} - \cos \pi a \cdot \frac{e^{\pi b} + e^{-\pi b}}{4}$ ,  $v = \sin \pi a \cdot \frac{e^{\pi b} - e^{-\pi b}}{4}$ . 若令  $z = re^{i\theta}$ , 则  $T(z) = \frac{1}{2} 3^u \cdot r \cdot e^{i\theta_1} + \frac{u + vi}{2}$  ( $\theta_1 = \theta + v \ln 3$ ). 因为  $u^2 + v^2 = (\frac{\cos \pi a}{2} - \frac{e^{\pi b} + e^{-\pi b}}{4})^2$ , 因此可令  $r_1 = \frac{e^{\pi b} + e^{-\pi b} - 2 \cos \pi a}{4}$ ,  $u + vi = r_1 \cdot e^{i\varphi}$ . 此时若令  $z_1 = \frac{1}{2} 3^u \cdot r \cdot e^{i\theta_1}$ ,  $z_2 = \frac{1}{2} r_1 \cdot e^{i\varphi}$ , 则  $T(z) = z_1 + z_2$ . 由此知定理 1.

**定理 1** 除 0 点外, 当  $|3^u - \frac{r_1}{r}| > 2$  时,  $|T(z)| > |z|$ , 当  $3^u + \frac{r_1}{r} < 2$  时,  $|T(z)| < |z|$ .

**证明** 因为  $T(z) = z_1 + z_2$ , 则  $|z_1 - z_2| = \frac{r}{2} |3^u -$

$\frac{r_1}{r}| \leq |T(z)| \leq \frac{r}{2} |3^u + \frac{r_1}{r}| = |z_1 + z_2|$  ( $r \neq 0$ ). 命题得证. 证毕.

由定理 1 可知推论 1.

**推论 1** 除 0 点外, 当  $|3^u - \frac{r_1}{r}| > 2$  或  $|3^u + \frac{r_1}{r}| < 2$  时,  $z$  不是  $T(z)$  不动点.

由此可知,  $T(z)$  的不动点应满足  $|3^u - \frac{r_1}{r}| \leq 2$  且  $|3^u + \frac{r_1}{r}| \geq 2$ , 设  $f(a, b)$  为  $|3^u - \frac{r_1}{r}| \leq 2$ ,  $g(a, b)$  为  $|3^u + \frac{r_1}{r}| \geq 2$ . 则在  $f, g$  中令  $b = 0$  可以得到  $T(x)$  在实轴上的不动点的存在区间, 如性质 1 所示.

**性质 1**  $T(z)$  在实轴 ( $k, k+1$ ) 上存在不动点  $a$ , 且  $a$  满足  $1 - 2 \log_3(2 + 1/k) \leq \cos \pi a \leq 1 - 2 \log_3(2 - 1/k)$ , 当  $|k| \rightarrow \infty$  时  $a \rightarrow k + (-1)^k \frac{2}{\pi} \arcsin \sqrt{\log_3 2} + \text{mod}_2(k) \approx k + (-1)^k \cdot 0.5843 + \text{mod}_2(k)$ . ( $\text{mod}_2(k)$  为  $k$  对 2 取余的结果)

**证明**  $b = 0$  时,  $f$  为  $|3^{\sin^2(\frac{\pi a}{2})} - \frac{\sin^2(\frac{\pi a}{2})}{|a|}| \leq 2$ ,  $g$  为  $|3^{\sin^2(\frac{\pi a}{2})} + \frac{\sin^2(\frac{\pi a}{2})}{|a|}| \geq 2$ . 由推论 1, 若  $a$  为不动点则需同时满足  $f, g$ . 故  $a \rightarrow \infty$  时,  $3^{\sin^2(\frac{\pi a}{2})} \rightarrow 2$ . 解之可得  $a \rightarrow k + (-1)^k \frac{2}{\pi} \arcsin \sqrt{\log_3 2} + \text{mod}_2(k)$ . 证毕.

## 3 $T(z)$ 在复平面上的不动点存在区域

将实轴的结论推广到复平面, 则  $T(z)$  的不动点同样满足推论 1. 因此可由  $f$  和  $g$  限定不动点的存在区域.

显然易知  $f, g$  在  $x = 2k$  附近同样可构成类似的区域, 而在  $x = 2k + 1$  附近  $f$  和  $g$  交集为空. 为清楚的说明函数的性质, 本文用 matlab 中的绘图函数 `plot` 和 `ezplot` 对各类函数进行了绘制, 如图 1 所示.

图 1 描述了  $f$  与  $g$  的性质. 图 1 可直观的看出  $f$  和  $g$  的交集, 其中内层为  $g$  边界, 外层为  $f$  边界. 同时可看出各个不动点存在区域的关系. 由  $f, g$  的定义知, 其中  $f, g$  的边界与实轴的交点必定是  $T(z)$  在实轴上的不动点或其相反数. 同时由  $u, r_1, r$  的定义可知,  $f$  和  $g$  均关于  $x$  轴和  $y$  轴对称. 又有  $T(z)$  关于  $x$  轴

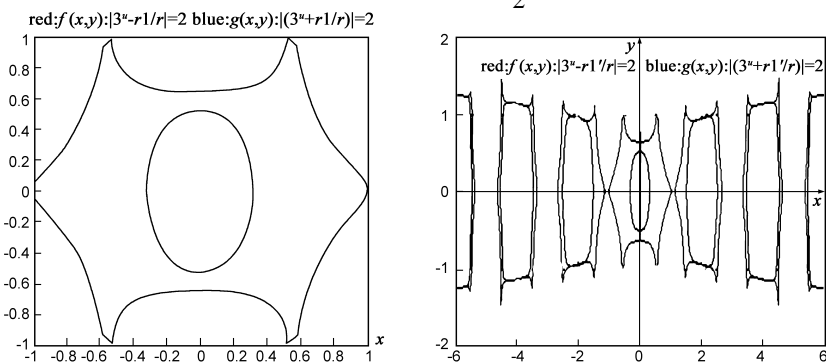


图1  $f$  和  $g$  的边界图像

对称,因此,本文仅考虑  $a \geq 0, b \geq 0$  的情况.

由于  $f$  与  $g$  的交集分为若干个相互独立的区域,由于  $b=0$  时每个独立区域在实轴达到极值,由此可以用实轴上不动点的边界将复平面进行划分.由性质 1 有:设  $k$  为偶数,由  $x=k-0.5843, x=k+0.5843, y=0, y=1$  组合得到区域为  $Q$ .对  $Q$  进行  $T$  映射后结果区域为  $T(Q)$ .比较  $Q$  与  $T(Q)$  可知  $Q \subset T(Q)$ .

当  $k=2$  时,对  $Q$  区域取  $T$  如图 2(a) 所示,其中内层的矩形区域为  $Q$ .从图中可以明显看出  $Q \subset T(Q)$ .

由此可知,当  $k$  取大于 0 的偶数时,由  $x=k-0.5843, x=k+0.5843, y=0, y=1$  构成的区域中必有  $Q \subset T(Q)$ .用  $a=k$  将区域  $Q$  划分为区域  $Q_1$  和  $Q_2$ ,通过计算  $Q_1$  与  $Q_2$  的公共边界  $T(k+bi)$  可知  $T(k+bi)$  随  $b$  增大接近实轴,可以将其近似看作实轴  $Q$  的左侧的一条线段.因此,将  $Q$  划分为  $Q_1$  与  $Q_2$  可知,  $Q_1 \subset T(Q_1), Q_2 \subset T(Q_2)$ .

对图 2(a) 中  $Q$  用  $x=2$  分割成  $Q_1$  与  $Q_2$  分别取  $T$  可得图 2(b) 和图 2(c),由此同样可以验证结论.

事实上,由于  $T(z)$  也有为 2 近似周期,因此对不同的  $k$  得到的  $Q$  与  $T(Q)$  的区域应彼此近似.图 3 说明了

这种近似.由图 3 可以看出,在偶数点附近的  $T(Q)$  均存在这种相似关系.由于  $T$  连续可逆,因此可知每个  $Q$  内均存在  $T$  的不动点.当  $k=2$  时,求得不动点为  $1.4510 + 0.9600i$  与  $2.5079 + 0.9449i$ .当  $y$  增大时,我们可以利用文献[12]中求得的  $B(z)$  的不动点来近似给出  $T(z)$  不动点的限定区域.

STEP1. 对任意自然数  $n$ , 计算  $C_1 = 2 - 4\log_3 2, C_2 = \frac{8n\pi}{\ln 3}$ ;

STEP2. 计算  $M = \frac{C_1^2 + C_2^2 + \sqrt{(C_1^2 + C_2^2)^2 - 8C_1^2 + 8C_2^2 + 32}}{2}$ ;

STEP3. 计算  $b = \frac{\ln(\frac{M + \sqrt{M^2 - 4}}{2})}{2\pi}, a = \frac{\arccos(\frac{C_1}{\sqrt{M+2}})}{\pi}$ .

在文献[12]中给出了求  $T(z)$  近似函数  $B(z) = \frac{1}{2} z 3^{\sin^2(\frac{\pi z}{2})}$  不动点的算法如下:

则  $z = a + bi$  为  $B(z)$  的基本不动点,对应的  $2n \pm a \pm bi$  也为不动点.

由  $B(z)$  的不动点构造性的给出  $T(z)$  不动点的存在区域,可得性质 2.

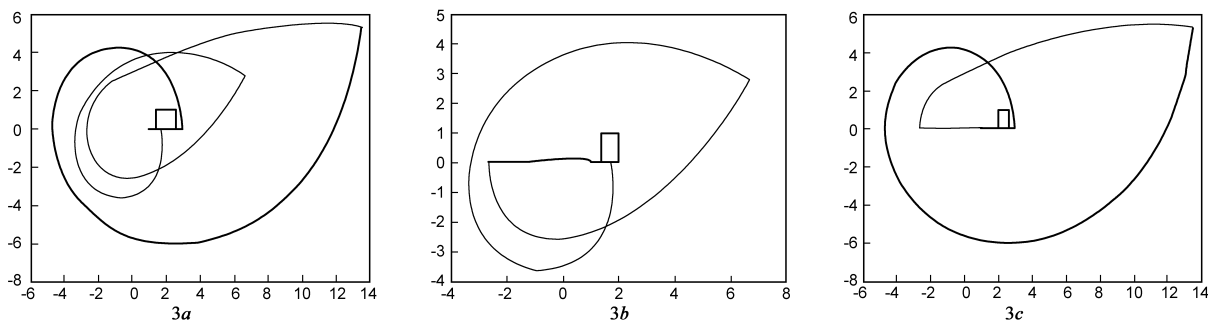


图2  $k=2$  时的  $Q$  与  $T(Q)$  及分解

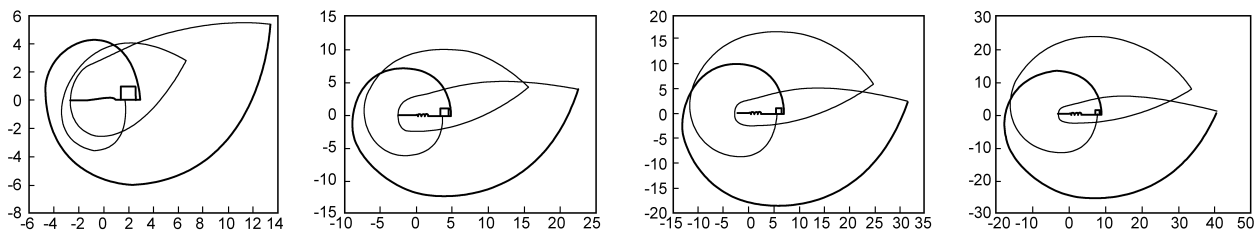


图3  $k=2, 4, 6, 8$  时的  $Q$  与  $T(Q)$

**性质 2** 任取整数  $n > 1$  时解  $B(z)$  不动点的虚部为  $b_n$ , 则由  $y = b_{n-1}, y = b_n, x = k, x = k+1$  限定的区域  $Q$  满足性质 2, 其中  $k$  为任意正整数.

设满足条件的  $B(z)$  的不动点为  $z_n = a_n + b_n i$ . 由文献[12]知  $u_n = \log_3 2, v_n = 2\pi n / \ln 3$ , 因此  $T(z_n) \approx z_n + 0.3155 + 2.8596n \cdot i$ . 再分析  $T(z)$  的导数可知其在  $B(z)$  不动点处的值远大于  $|u + vi|$ . 由  $T(z)$  和  $B(z)$  的相对周期性可知:  $T(z)$  的不动点出现在  $B(z)$  的不动点附近, 距离不超过  $2.8596n / |T'(z)|$ ; 且随着  $a$  和  $b$  的增

大而逐渐接近  $B(z)$  的不动点. 由此可知,  $T(z)$  与  $B(z)$  在复平面实轴外的不动点存在对应关系. 事实上,  $|a|$  足够大时二者在实轴上的不动点近似相同, 又因为  $T(z)$  与  $B(z)$  有相同的不动点  $z=0$ , 所以对应关系存在.

显然易知, 对定义在复平面上的任意连续可微可逆函数  $f(z)$ , 设对其定义域内的真子区域  $Q$  有  $Q \subset f(Q)$ , 若  $Q \subset Q^*$ , 则存在  $Q_1 \subset Q$  满足  $Q = f(Q_1)$ . 由此可知, 对  $T(z)$  的某定义区域  $Q$ , 必然可以找到一个  $Q$  的真子区域  $Q_1$  满足  $Q = T(Q_1)$ . 随着判断区域不断减

小,最终必然收敛到某个很小的区域  $Q_m$ . 因此,可以取给定步长进行采样计算以确定  $Q_m$ . 若  $Q_m$  不符合解的精度限制,则可以将步长缩小后令  $Q_m = Q$  递推计算. 直至步长小于给定值  $\epsilon$  或结果区域  $Q_m$  满足解精度,即  $Q_m$  中所有点在解的精度限制下相同,此时  $Q_m$  中的任意点都可以当做  $T(x)$  不动点的近似值. 由此我们给出如下求解  $T(z)$  在复平面上不动点的数值算法.

4  $T(z)$  在复平面上不动点的数值算法

下面给出求解  $T(z)$  在  $(k, k + 1) \times (0, \infty)$  之间  $n$  个不动点的数值算法 ( $k, n > 1$ ). 这些不动点的虚部逐渐增大,即对应着  $B(z)$  的前  $n$  个不动点. 显然  $y < 0$  时的不动点可通过取本算法结果的相反数而得到.

为便于描述算法,给出下面两个定义:  
 $k$  区域值: 将复平面上某区域按步长采样得到矩阵,则将以该点为中心的边长为  $k$  的矩阵空间称为该点的  $k$  区域; 定义该点的  $k$  区域值为 1, 若该点的  $k$  区域内矩阵元素不全为 0, 反之  $k$  区域值则为 0.

连续非 0 区域: 设矩阵中子集  $Q$  为  $Q = \{Q(i, j) \in Q\}$ , 称集合  $Q^{k+}$  为  $Q$  的  $k$ -邻域, 若  $Q^{k+} = \{Q(i - k, j) \in Q$  或  $Q(i + k, j) \in Q$  或  $Q(i, j - k) \in Q$  或  $Q(i, j + k) \in Q\}$ . 称  $Q$  为连续非 0 区域, 若  $Q^{1+} - Q$  为 0 矩阵, 且  $Q$  中无 0 元素.

下面给出在区域  $(k, k + 1) \times (0, \infty)$  中求解  $T(z)$  前  $n$  个不动点算法 Solve\_Fixed\_Point( $k, n, \epsilon_1, \epsilon_2$ ).

因为  $T(z)$  满足定理 2 的条件, 因此可以用算法对  $T$  的不动点进行求解. 其中  $k$  用来限定求解不动点的实轴区域;  $n$  用来限定不动点数目;  $\epsilon_1$  限制采样的步长;  $\epsilon_2$  用来限制结果  $T(z) - z$  的误差. 算法可以由步长  $< \epsilon_1$  终止, 最终经过 STEP5 验证的点即可认为是不动点. 若最终无结果, 则说明在当前允许的计算精度下没有不动点, 即不存在精度为  $\epsilon_1$  的  $z^*$  使  $|T(z^*) - z^*| < \epsilon_2$  (在距 0 点较远的地方会出现这种情况). 注意到在采样中若步长选择过大, 有可能出现因为  $Q_1$  过小而找不到  $Q_1$  的情况 (所有采样点的迭代全部在  $Q$  外), 因此我们取矩形的左 (右) 上顶点元素 (取实数部分接近  $k + 0.5$  的上角顶点采样元素) 计算  $1/|T'(z)|$  作为步长选择依据. 当步长取  $1/|T'(z)| \times \epsilon$  时, 相邻元素取  $T$  得到的结果近似相差  $\epsilon$ , 由此可以选择合适的  $\epsilon$  以保证计算效果.

虽然 STEP4 可能会导致矩阵  $Q$  规模渐增, 但事实上通过简单的计算可知, 在具体搜索过程中, 在远离 0 点处的搜索空间递减的速度接近  $h^2$ , 即每次完成 STEP3 后仅剩余很少的点. 因此算法收敛很快, 具体搜索中除第一次外几乎每次搜索空间规模均近似为  $1/h^2$ . 对本算

法而言, 当精度为  $m$  时, 步长的总递减次数不超过  $\log_h m$  次; 每次搜索的规模近似为  $1/h^2$ , 共进行  $k$  次, 总的计算次数约为  $k \cdot \log_h m / h^2$ .

Solve\_Fixed\_Point( $k, n, \epsilon_1, \epsilon_2$ )  
Input:  $k, n, \epsilon_1, \epsilon_2$ .  $(k, k + 1) \times (0, \infty)$  为求解区域,  $\epsilon_1$  为不动点的允许误差,  $\epsilon_2$  为  $T(z) - z$  的允许误差,  $n$  为欲求解不动点的数目;  
Output: 每个  $Q_j$  输出一个元素  $Q_{i * j *}$  作为不动点近似值;  
Step 1. 计算  $B(z)$  在  $x = k$  与  $x = k + 1$  限定区域上的前  $n$  个不动点的虚部, 分别称为  $im_1 \sim im_n$ ; 设  $im_0 = 0.9$  为判断下界, 用  $im_j$  划分各个不动点区域; 给定步长  $h_j = 1/|T'(k + 0.5 + im_j \cdot i)|$ , 分别按给定步长将  $|$  若  $k$  为奇数, 则取  $(k, k + 0.5)$ ,  $k$  为偶数, 取  $(k + 0.5, k + 1)| \times (im_i, im_{i+1})$  区域对应到矩阵变量  $Q_i[ \text{int}(1/(2h)) + 1, \text{int}((im_{i+1} - im_i)/h) + 1 ]$ ; 对所有的  $Q_j$  依次进行如下操作;  
Step 2. 当  $h_j < \epsilon_1$  时, 转 Step 5, 否则转 Step 3;  
Step 3. 对  $Q$  中非 0 元素  $Q_{ij}$  进行取  $T$  计算; 若  $T(Q_{ij})$  映射到  $Q_j$  的  $1/h_j$  区域外, 或  $T(Q_{ij})$  的  $1/h_j$  区域值为 0 时, 将对应元素记为 0; 重复直到  $Q$  中无元素变化; 如果  $Q$  为 0 矩阵, 退出; 否则转 Step 4;  
Step 4.  $h_j = h_j^2$ ; 如果  $h_j < \epsilon_1$ , 则令  $h_j = \epsilon_1$ ; 将  $Q$  中的非 0 区域重新对应到新的矩阵  $Q$ ; 转 Step 2;  
Step 5. 对求得的矩阵中非 0 元素依次取值求  $T$ ; 当存在元素  $Q_{i * j *} = \min(|T(Q_{ij}) - Q_{ij}|) < \epsilon_2$  时, 输出结果  $Q_{i * j *}$ , 退出.

Kuhn 算法在计算不动点时初值难于选择, 因此在求解  $T(z)$  在给定区域的不动点时用处不大. 如果将  $T(z) = z$  变为实数方程组计算, 则  $b > 1$  时在 PC 机上用软件求解时由于等待时间过长而得不出结果 (使用工具为 matlab 与 mathematica). 本文算法运行时间仅相当于文献[11]中算法进行 Kuhn 求解的时间, 节省的时间约为该算法前期确定解的数量和求积分工作的时间. 通过本文算法找到了  $T(z)$  的部分不动点, 验证了算法的正确性. 见表 1.

表 1 $T(z)$ 的不动点					
区间	$T(z)$ 不动点				
(1,2)	1.4510 + 0.9600i	1.4626 + 1.1985i	1.4699 + 1.3340i	...	1.4928 + 2.0197i
(2,3)	2.5079 + 0.9449i	2.5169 + 1.1763i	2.5187 + 1.3151i		2.5066 + 2.0165i
(3,4)	3.4776 + 0.9664i	3.4782 + 1.1962i	3.4802 + 1.3307i	...	3.4938 + 2.0189i
(4,5)	4.5067 + 0.9663i	4.5098 + 1.1899i	4.5117 + 1.3233i	...	4.5057 + 2.0170i
(5,6)	5.4858 + 0.9742i	5.4858 + 1.1990i	5.4862 + 1.3316i	...	5.4946 + 2.0186i
...				...	

表 2 为  $B(z)$  的部分不动点, 可对照表 1 比较来看, 也验证了上面的结论.

注意表格中  $T(z)$  与  $B(z)$  相同位置的不动点. 由于  $T(z)$  和  $B(z)$  在复平面上的这些不动点都是发散不动点, 而且膨胀系数  $|T'(z)|$  也随着  $|z|$  的增大而增大, 导致在  $|z|$  足够大的时候  $T(z)$  与  $B(z)$  的不动点差异很小

$(T(z_n) - B(z_n) = 0.3155 + 2.8596n \cdot i)$ . 因此对照  $B(z)$  的不动点也可验证上文中的命题与推论.

表 2  $B(z)$  的不动点

$B(z)$ 不动点			
$1.4927 + 0.9970i$	$1.4964 + 1.2172i$	$1.4976 + 1.3461i$	$1.4997 + 2.0210i$
$2.5073 + 0.9970i$	$2.5036 + 1.2172i$	$2.5024 + 1.3461i$	$2.5003 + 2.0210i$
$3.4927 + 0.9970i$	$3.4964 + 1.2172i$	$3.4976 + 1.3461i$	$3.4997 + 2.0210i$
$4.5073 + 0.9970i$	$4.5036 + 1.2172i$	$4.5024 + 1.3461i$	$4.5003 + 2.0210i$
$5.4927 + 0.9970i$	$5.4964 + 1.2172i$	$5.4976 + 1.3461i$	$5.4997 + 2.0210i$

5  $T(z)$  的分形图形

显然  $T(z)$  不动点数目  $> 1$ , 因此考虑  $T^*(z) = T(z) - z$  可知  $T^*(z) = 0$  不存在 Picard 例外值, 这与前文的结论相符. 设定考察区域为不动点处  $(-0.000133, 0.000133) \times (-0.0001 \times 0.0001)$  邻域, 逃逸阈值为 10000. 图 4 为  $T(x)$  的若干分形图形区域, 每个分形图形区域的中心点位置在各图的下方. 考察图 4 可知,  $T$

$(Q)$  中包含  $T^m(z)$  的 0 点, 因此我们考虑不动点附近的包含  $T^3(z) = 0$  的点的吸引区域, 并由此得出其迭代图像的一些分形性质.

从图 4 看出,  $T(z)$  的迭代图形存在自相似. 取图 4 中黑色框部分的吸引域进行  $T^3$  运算 (即  $T \circ T \circ T$ ), 结果如表 3 所示, 其吸引域的对应图形见图 5.

图 4 中所列出点值分别为每个区域的中心点. 由图 5 可知, 在每个吸引域经过 3 次迭代后, 都会落入 0 点附近吸引域的对位位置, 这表明  $T(z)$  的迭代图形的自相似性. 由  $T(x)$  在实轴上的不动点可知, 0 为吸引不动点; 考察  $T(z) = 0$  可知, 0 点不是  $T$  的 Picard 例外值. 因此, 复平面上有无穷多的点满足  $T(z) = 0$ . 在这些点附近必然存在某邻域保证与 0 点附近吸引域的保形映射, 故  $T(z)$  存在无穷多个自相似的结构. 取图 5 外侧图形中与中心图形的 0 点位置相同的点进行验证, 均满足  $T^3(z) = 0$ .

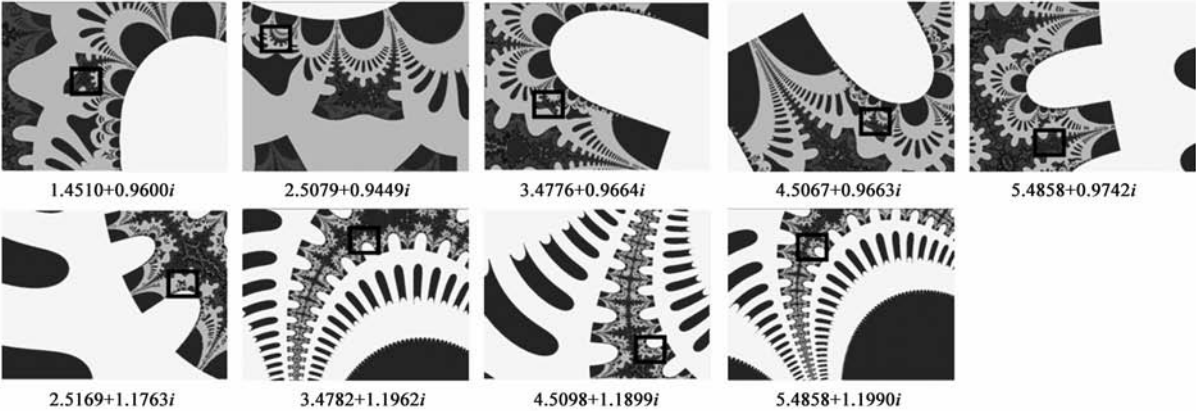


图 4 几个不动点附近的分形图形

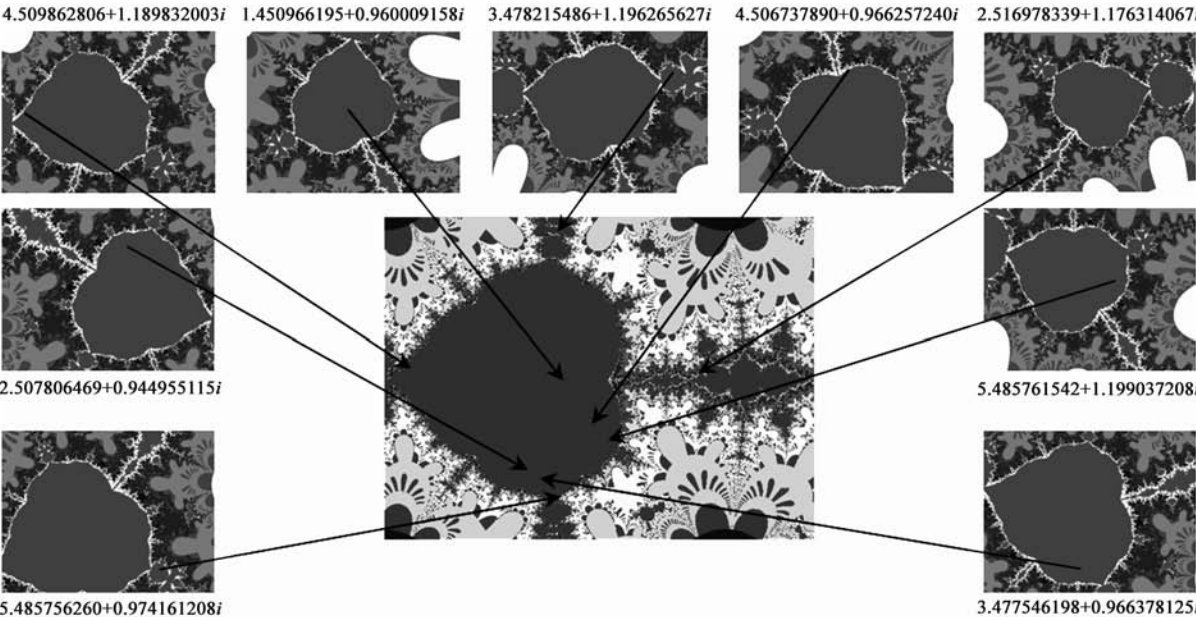


图 5 各个吸引区域与 0 点附近吸引域的对应情况

表 3 部分点取  $T^3$  的结果

$z$	$T^3(z)$	$z$	$T^3(z)$
1. 450966195 + 0. 960009158 i	- 0. 034342096 + 0. 008798391 i	2. 516977664 + 1. 176313205 i	0. 981754590 + 0. 025661570 i
2. 507807477 + 0. 944956248 i	- 0. 045983269 - 0. 542434422 i	3. 478216369 + 1. 196266044 i	- 0. 008314726 + 0. 792014760 i
3. 477546523 + 0. 966375963 i	0. 001665139 - 0. 608934547 i	4. 509862072 + 1. 189831919 i	- 0. 869536906 + 0. 008853703 i
4. 506738853 + 0. 966258853 i	0. 220415582 - 0. 367372822 i	5. 485761703 + 1. 199037189 i	0. 400047880 + 0. 438115613 i
5. 485757216 + 0. 974160064 i	- 0. 007740697 - 0. 796517469 i		

6 结论与展望

本文针对  $T(z)$  的不动点进行了研究,求得了  $T(z)$  不动点的分布区域,并给出了求给定区域的  $T(z)$  不动点的数值算法.由  $B(z)$  在  $k > 1$  时的不动点可知,  $T(z)$  的不动点分布在整个复平面上.实验结果表明,  $T(z)$  不动点分布在整个复平面的  $x = k \pm 0.5843$  和  $x = k \pm 0.5$  之间( $k$  为偶数),并与  $B(z)$  的不动点成一一对应关系.通过分析其迭代图形,可知其具有分形的自相似性、局部-整体对应性和映射的某些性质.并由此猜测对函数族  $f(z) = B(z) + \varepsilon \cdot \sin^2(\frac{\pi z}{2})$  ( $0 \leq \varepsilon \leq 1$ ) 的不动点都有相似的结论.

文中算法在计算距 0 点较远的不动点时,由于  $|f'(z)|$  很大导致计算量较大,因此下一步需研究如何缩减计算量;以及研究此类超越函数分形图形的生成算法.

参考文献

[1] 1 Alves J F, Graca M M, Dias M E S, et al. A linear algebra approach to the conjecture of Collatz[J]. Linear Algebra and Its Applications, 2005, 394(1): 277 - 289.

[2] Lagarias J C. The  $3x + 1$  problem and its generalizations[J]. American Mathematical Monthly, 1985, 92(1): 3 - 23.

[3] John Simons, Benne de Weger. Theoretical and computational bounds for m-cycles of the  $3n + 1$  problem[J]. Acta Arith, 2005, 117(1): 51 - 70.

[4] Mandelbrot B B. The Fractal Geometry of Nature[M]. San Fransisco: Freeman W H, 1982. 1 - 122.

[5] 李晋江, 张彩明, 范辉, 等. 基于分形的图像修复算法[J]. 电子学报. 2010, 38(10): 2430 - 2435.

LI Jin-jiang, ZHANG Cai-ming, FAN Hui, et al. Image inpainting algorithm based on fractal theory. Acta Electronica Sinica. 2010, 38(10): 2430 - 2435. (in Chinese)

[6] 俞璐, 吴乐南. 分形图像编码的矩阵表示和收敛性分析[J]. 电子学报. 2004, 32(7): 1103 - 1107.

YU Lu, WU Le-nan. Matrix representation and convergence analysis of fractal image encoding[J]. Acta Electronica Sinica. 2004, 32(7): 1103 - 1107. (in Chinese)

[7] Pe J L. The  $3x + 1$  fractal[J]. Computers and graphics, 2004, 25(3): 431 - 435.

[8] Dumont J P, Reiter C A. Visualizing generalized  $3x + 1$  function dynamics[J]. Computers and Graphics, 2001, 25(5): 553 - 595.

[9] 王兴元, 于雪晶. 基于分形可视化方法研究广义  $3x + 1$  函数的动力学特性[J]. 自然科学进展, 2007, 17(4): 529 - 535.

WANG X Y, YU X J. Study the dynamic theory of generalized  $3x + 1$  function based on fractal visual method[J]. Progress in Natural Science, 2007, 17(4): 529 - 535. (in Chinese)

[10] 王则柯. 复平面上计算超越函数零点的一种有效算法[J]. 中山大学学报, 1981, (3): 15 - 21.

WANG Ze-ke. An Effieient Algorithm for Computing the Zeros of Transeendental Functions in the Complex Plane[J]. Acta Universitatis Sunyatseni, 1981. 15 - 21. (in Chinese)

[11] Yunliang Long, Edward K N Yung. Kuhn Algorithm: Ultra-convenient Solver to Complex Polynomial and Transcendental Equations without Initial Value Selection [J]. International Journal of RF and Microwave Computer-Aided Engineering, 2002, 12(6): 540 - 547.

[12] 刘帅, 王钺旋. 一个  $3x + 1$  近似推广函数的不动点与分形图像[J]. 计算机辅助设计与图形学学报, 2009, 21(12): 1740 - 1744.

LIU Shuai, WANG Zheng-xuan. Fixed Point and Fractal Images for a Generalized Approximate  $3x + 1$  Function[J]. Journal of Computer-Aided Design & Computer Graphics, 2009, 21(12): 1740 - 1744. (in Chinese)

作者简介



刘 帅 男, 1982 年出生于吉林省长春市, 现为吉林大学计算机科学与技术学院计算机应用方向博士研究生, 导师为王钺旋教授. 主要研究方向为分形几何,  $3x + 1$  分形等.

E-mail: ls\_25210114@sohu.com

车翔玖 男, 1969 年出生, 博士, 吉林大学计算机科学与技术学院教授, 主要研究方向为计算机图形学.

王钺旋 男, 1945 年出生, 教授, 吉林大学计算机科学与技术学院, 计算机应用方向博士生导师, 主要研究方向为计算机图形学, 分形几何.